

# 변형된 AMDF를 이용한 음성 신호의

## 피치 주기 검출에 관한 연구

서현수<sup>\*</sup> · 배상범<sup>\*</sup> · 김남호<sup>\*</sup>

\*부경대학교 공과대학 제어계측공학과

A Study on Pitch Period Detection of Speech Signal Using Modified AMDF

Hyun-Soo Seo<sup>\*</sup> · Sang-Bum Bae<sup>\*</sup> · Nam-Ho Kim<sup>\*</sup>

\*Dept. of Control and Instrumentation Eng., Pukyong National Univ.

E-mail : digitalshs@hanmail.net

### 요약

음성 신호 처리에서 중요한 요소인 피치 주기는 음성 인식, 화자 식별, 음성 분석 및 합성 등의 많은 분야에 이용되고 있으며, 피치 검출에 관련된 다양한 알고리즘이 지금까지 연구되고 있다. 피치 검출에 사용되는 알고리즘의 하나인 AMDF(average magnitude difference function)는 각 valley 점의 거리를 피치 주기로 계산한다. 이 때 피치 주기 검출을 위한 valley 점 선정에 있어서 계산량이 증가하는 문제점이 발생한다. 따라서 본 논문에서는 변형된 AMDF를 이용하여 전체 최소 valley 점을 음성 신호의 피치 주기로 검출하는 간단한 알고리즘을 사용하였으며, 시뮬레이션을 통해 기존의 방법들과 비교하였다.

### ABSTRACT

Pitch period that is a important factor in speech signal processing is used in various applications such as speech recognition, speaker identification, speech analysis and synthesis. So many pitch detection algorithms have been studied until now. AMDF which is one of pitch period detection algorithms chooses the time interval from valley point to valley point as pitch period. In selection of valley point to detect pitch period, complexity of the algorithm is increased. So in this paper we proposed the simple algorithm using modified AMDF that detects global minimum valley point as pitch period of speech signal and compared existing methods with it through simulation.

### 키워드

pitch period, AMDF, valley point

### I. 서 론

최근 정보통신기술이 급속히 발전함에 따라 음성 신호 처리에 관련된 다양한 연구들이 진행되고 있다. 그리고 음성 신호의 기본 주파수 즉, 피치 주기는 음성 인식, 화자 식별, 음성 분석 및 합성 등의 여러 응용분야에서 필수적인 수단이다. 피치는 인간의 청각에 매우 민감하게 반응하는 파라미터로써, 음성 신호의 화자를 구분하는데 사용하며, 자연성에 큰 영향을 미친다. 그러므로 음성 합성과 음성 코딩에서 피치의 정확한 추출과

복원은 음질에 결정적인 역할을 한다. 따라서 이러한 피치 검출을 위한 시간영역과 주파수영역에 서의 많은 알고리즘이 제안되었다[1]-[3].

시간영역에서의 피치 검출 알고리즘은 파형의 주기성을 강조하여 피치를 검출하는 방법으로서 병렬처리법, ACF(autocorrelation function), AMDF 등이 있다[2].

그리고 주파수영역에서의 피치 검출 알고리즘은 음성 스펙트럼의 고조파 간격을 측정하여 유성음의 기본주파수를 검출하는 방법으로 Cepstrum법, 고조파분석법 등이 있다. 그러나 처

리과정에서 주파수영역으로의 변환과정이 필요하기 때문에 계산이 복잡하며, 기본주파수의 정밀성을 높이기 위해 FFT의 포인터 수를 증가 시킬 경우 처리시간이 길어지고 변화특성에 둔해지게 된다[4].

따라서 실시간시스템에서는 주파수영역으로의 변환과정을 필요로 하지 않는 시간영역에서의 알고리즘이 사용된다. 특히, 적은 계산량과 정확한 피치 주기 검출의 장점을 가지는 AMDF가 널리 적용되고 있으나, 피치 주기 검출을 위한 valley점 선정이 용이하지 않다.

그러므로, 본 논문에서는 변형된 AMDF 알고리즘을 제시하여, 우수한 피치 주기 검출 특성을 나타내도록 하였으며 시뮬레이션에서 기존의 방법들과 비교하였다.

## II. AMDF 알고리즘

### 1. Basic-AMDF 알고리즘

음성신호  $s(n)$ 은 길이  $N$ 을 가진 창함수  $w(n)$ 과의 연산을 통해 신호  $s_w(n)$ 이 된다. 이 때, Basic-AMDF  $v(l)$ 은 다음과 같이 정의된다.

$$v(l) = \sum_{n=l}^{N-l+1} |s_w(n+l-1) - s_w(n)|, \quad (1)$$

$$l = 1, 2, \dots, N$$

식 (1)로부터,  $s_w(n)$ 이 유성음이라면  $v(l)$ 은 주기적인 특징을 나타내며,  $v(l)$ 의 이러한 특징은 유성음과 무성음을 분류하거나 유성음의 피치 주기를 결정하는 분야에 사용된다.

일반적으로 유성음은 AMDF 알고리즘에 의해 국부 최소 valley점이 그림 1에서 보는 바와 같이 주기적으로 A, B, C 등에서 나타나며, 전체 표본에 대한 최초의 valley점을 피치 주기로 계산한다. 따라서 그림 1의 경우, 국부 최소점 A와 시작점 사이의 시간 간격이 피치 주기이다.

그러나 대부분의 경우에서, 식 (1)에서 제시된 Basic-AMDF 알고리즘은 피치 주기를  $n$ 배로 계산하는 오류를 발생시킨다.

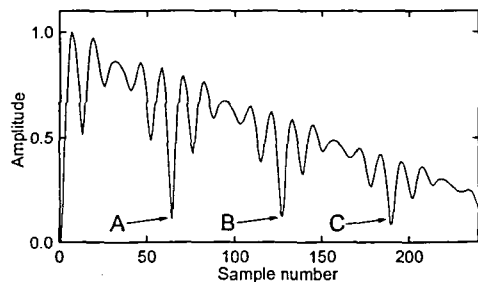


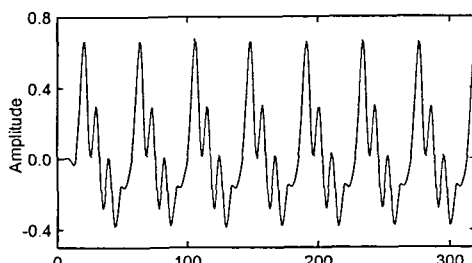
그림 1. 유성음에서의 AMDF

### 2. 기존의 AMDF 알고리즘

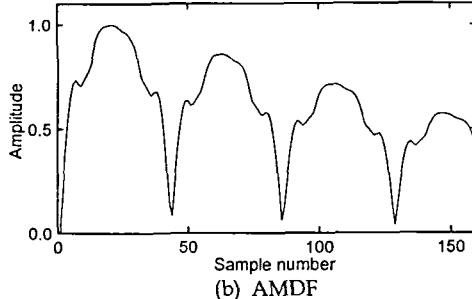
Basic-AMDF의 특성을 개선시키기 위해, 선형 가중 AMDF(W-AMDF), 가변 길이 AMDF(LV-AMDF) 등이 소개되었다[5][6]. 여기서 W-AMDF는 다음과 같이 정의된다.

$$v_w(l) = \frac{1}{N-l+1} \sum_{n=1}^{N-l+1} |s_w(n+l-1) - s_w(n)|, \quad (2)$$

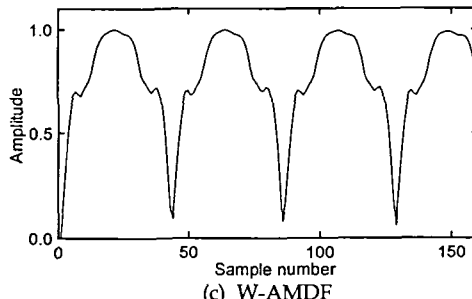
$$l = 1, 2, \dots, N$$



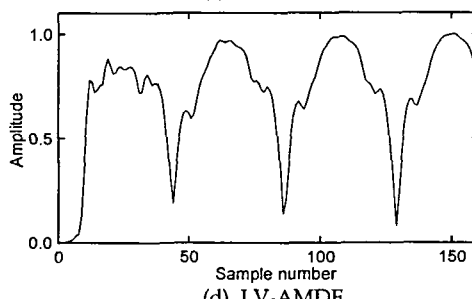
(a) Speech signal



(b) AMDF



(c) W-AMDF



(d) LV-AMDF

그림 2. 여러 가지 AMDF

식 (2)와 같은 W-AMDF는 low-pitched 잡음 환경에서 Basic-AMDF가 가지는 피치 검출 오류를 극복하기 위해 제시되었다. 즉, scale factor  $(N-l+1)^{-1}$ 은 Basic-AMDF의 감소특성을 제거시켜준다.

그리고 LV-AMDF는 다음의 식 (3)과 같다.

$$y_{LV}(l) = \frac{1}{l} \sum_{n=1}^l |s_u(n+l-1) - s_u(n)|, \quad (3)$$

$$l=1, 2, \dots, N$$

식 (3)에서 보이는 바와 같이 LV-AMDF는 합에 대한 연산량이 변수  $l$ 에 의해서 결정됨에 따라 Basic-AMDF와 W-AMDF에 비해 적은 연산량을 가진다. 그러나 여전히 일반적인 유성음에서, 기존의 AMDF는 주기적인 valley 점 검출에서 최초의 국부 최소 valley 점이 피치 주기가 되지 않는 오류가 발생하고 있다.

### 3. 변형된 AMDF

본 논문에서는 Basic-AMDF  $y(l)$ 의 특징을 분석하여, 그림 3에서 보여 지는 바와 같이 AMDF의 최초 피크 지점과  $N$ 지점을 잇는 직선에 의해 수평선과의 각  $\theta$ 를 설정한다. 그리고 이러한 각  $\theta$ 를  $0^\circ$ 로 만들기 위해 AMDF를 양의 방향으로 회전시킨다.

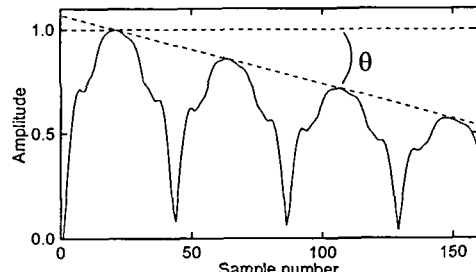
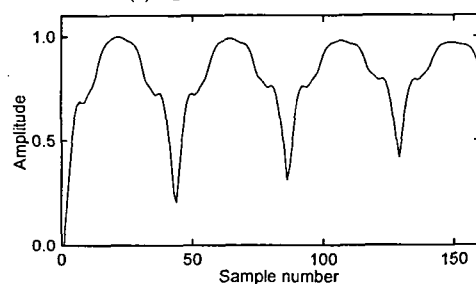
(a) 변형된 AMDF의 각  $\theta$  설정(b) 각  $\theta$  설정 후의 변형된 AMDF

그림 3. 변형된 AMDF

다음의 식 (4)는 각  $\theta$ 를 설정하기 위해 유도된 식이다.

$$\Theta = \arctan \frac{R_{\max}}{N} \quad (4)$$

여기서  $R_{\max} = \max\{y(l)\}$ 이며,  $N$ 은  $y(l)$ 의 분석을 위한 신호의 길이이다. 그리고 다음의 식 (5)는 Basic-AMDF를 각 θ만큼 회전시킨 변형된 AMDF를 나타낸다.

$$y_M(l) = \begin{bmatrix} \cos\theta & -\sin\theta \\ \sin\theta & \cos\theta \end{bmatrix} \times y(l) \quad (5)$$

식 (5)에서 제시된 변형된 AMDF는 각 θ를 이용하여 AMDF  $y(l)$ 를 변환시켜 주는 것에 의해, 피치 주기의 첫 번째 valley점에 대한 검출을 용이하게 한다.

또한, 이러한 변형된 AMDF는 다음의 식 (6)과 같이 파라미터  $\alpha$ 를 추가하여, 회전각에 대한 유연성을 갖도록 하였다.

$$\theta = \arctan \frac{R_{\max}}{N} + \alpha \quad (6)$$

다음의 그림 4는 식 (6)에서 제시된 파라미터  $\alpha$ 에 대한 영향을 나타내고 있다.

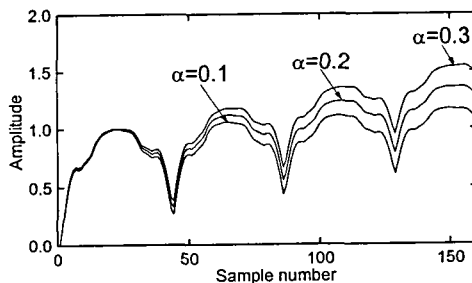


그림 4. 파라미터  $\alpha$ 에 따른 변형된 AMDF

### III. 시뮬레이션 및 결과

본 논문에서 제안한 변형된 AMDF를 이용한 음성 신호의 피치 주기 검출 알고리즘을 시뮬레이션하기 위해, IBM-PC의 사운드카드를 사용하였으며, 분해능은 16비트이고, 표본화 주파수는 8 [kHz]로 설정하였다. 그리고 한 프레임의 길이는 10[ms](80표본)이며, 분석프레임의 길이는 4프레임(320표본)으로 하였고, 한 프레임씩 오버랩시켜 피치 주기를 검출하였다.

그림 5는 /장미단추/로 발성된 음성 신호에 대한 시뮬레이션 결과를 보이고 있다. 그림으로부터 (a)는 테스트 음성 신호를 나타내고 있으며, (b)는 W-AMDF에 의해 검출된 피치 주기이다. 그리고 (c)는 LV-AMDF에 의한 결과이고, (d)는 본 논문

에서 제시한 변형된 AMDF( $\alpha = 0.3$ )에 의해 검출된 피치 주기를 나타낸 것이다.

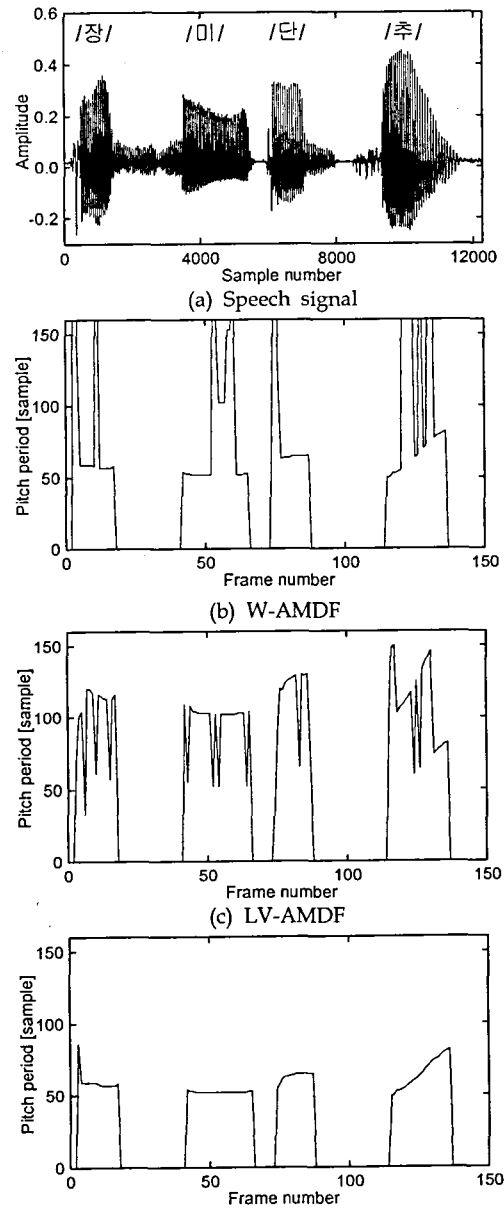


그림 5. 시뮬레이션 결과

시뮬레이션 결과로부터, 기존의 방법들은 음성 신호의 피치 주기 검출을 위한 최초의 valley점 선정에서 많은 오류를 나타내었다. 그러나 본 논문에서 제안한 변형된 AMDF는 대부분의 프레임에서 우수한 피치 주기 검출 결과를 나타내었다.

#### IV. 결 론

본 논문에서는 음성의 피치 주기를 검출하기 위해, Basic-AMDF의 회전변환을 통한 변형된 AMDF 알고리즘을 제시하여 기존의 W-AMDF 및 LV-AMDF와 비교하였다.

시뮬레이션 결과, 기존의 방법들은 피치 주기 검출을 위한 최초의 valley점 선정에서 많은 오류를 보였으나, 본 논문에서 제시한 변형된 AMDF는 우수한 피치 주기 검출 결과를 나타내었다.

따라서 제안한 방법은 음성 합성, 음성 인식, 화자 식별 등과 같은 음성 신호 처리의 다양한 분야에 유용하게 적용되리라 사료된다.

#### 참고문헌

- [1] L. R. Rabiner et al., "A Comparative performance study of several pitch detection algorithms", IEEE Trans. Acoust., Speech, Signal Processing, 24(5), pp. 399-417, 1976.
- [2] M. J. Ross et al., "Average magnitude difference function pitch extractor", IEEE Trans. Acoust., Speech, Signal Processing, 22(5), pp. 353-362, 1974.
- [3] S. Kadamb and G. F. Boudreaux-Bartels, "Application of the wavelet transform for pitch detection of speech signals", IEEE Trans. Information Theory, 38(2), pp. 917-924, 1992.
- [4] S. Sneff, "Real Time harmonic pitch detection", IEEE Trans. Acoust., Speech, Signal Processing, Vol. ASSP-26, pp. 358-365, 1978.
- [5] C. Manfredi, "Adaptive noise energy estimation in pathological speech signals", IEEE Trans. Biomedical Engineering, 47(11), pp. 1538-1543, 2000.
- [6] X. mei, J. Pan and S. Sun, "Efficient algorithms for speech pitch estimation", Proc. of ISIMVSP-2001, pp. 421-424, 2001.